

11:12

Взаимодействие атомов кобальта с окисленной поверхностью Si(111)7 × 7

© М.В. Гомоюнова, Т.Е. Войстрик, И.И. Пронин

Физико-технический институт им. А.Ф. Иоффе РАН,
194021 Санкт-Петербург, Россия
e-mail: Marina.Gomoyunova@mail.ioffe.ru

(Поступило в Редакцию 9 июля 2008 г.)

Методом фотоэлектронной спектроскопии высокого разрешения (100 meV) с использованием синхротронного излучения изучено взаимодействие атомов кобальта с поверхностью Si(111)7 × 7, окисленной *in situ* в атмосфере кислорода при давлении 10^{-5} Pa (экспозиция 20 Лэнгмюр) и температуре 500°C. Показано, что такая обработка поверхности приводит к образованию окисной пленки сложного состава, занимающей примерно 80% поверхности подложки и имеющей толщину ~ 6 Å. Обнаружено, что при комнатной температуре в области покрытий до 6 монослоев, атомы кобальта не адсорбируются на сформированном окисном слое, а мигрируют к пятнам чистой поверхности кремния. На этих участках сначала образуется тонкий слой дисилицида кобальта, а затем на нем растет твердый раствор Co–Si. Часть атомов кобальта проникает под окисный слой, образуя на границе SiO_x –Si трехкомпонентную интерфейсную фазу Co–Si–O, а также метастабильный дисилицид кобальта со структурой типа CsCl.

PACS: 68.37.-d, 79.60.-i

Введение

Изучение системы Co– SiO_x –Si представляет большой научный и практический интерес, в частности, в связи с формированием тонких пленок дисилицида кобальта на поверхности монокристаллического кремния, которые широко используются в качестве омических и барьерных контактов в современной твердотельной электронике, базирующейся на кремниевой технологии. В работах [1–4] было показано, что проведение твердофазной эпитаксии на окисленной поверхности Si(100)2 × 1 способствует формированию более совершенных эпитаксиальных пленок Co Si_2 . Механизм протекающих процессов был раскрыт в работах [5–7], в которых было обнаружено, что при нанесении атомов кобальта на поверхность Si(100)2 × 1, окисленную *in situ*, атомы металла проникают под окисный слой уже при комнатной температуре. Результатом этого эффекта является образование на границе раздела между окисным слоем и кремнием трехкомпонентной интерфейсной фазы Co–Si–O и последующее формирование под ней слоя твердого раствора Co–Si. Таким образом, термостимулированная реакция твердофазного синтеза Co– Si_2 оказывается локализованной под слоем SiO_x , который затрудняет атомные перестройки в подложке и способствует улучшению морфологии образующихся пленок дисилицида кобальта.

Целью настоящей работы было выяснить, насколько общим является обнаруженный эффект и способны ли атомы кобальта проникать под окисный слой, сформированный *in situ* на другой реконструированной поверхности кремния — Si(111)7 × 7. Следует отметить, что структура окисного слоя и строение межфазовой границы SiO_x /Si существенно различаются для разных граней

кремния [8]. Влияние указанных параметров на характер взаимодействия атомов металла с поверхностью окисленного кремния до сих пор остается неизученным. Одним из наиболее информативных методов исследования физико-химических процессов, протекающих на поверхности твердого тела, является фотоэлектронная спектроскопия высокого энергетического разрешения с использованием синхротронного излучения. Этот метод, позволяющий надежно идентифицировать различные интерфейсные фазы [9,10], использовался и в настоящей работе.

1. Техника эксперимента

Измерения проводились на Российско-германском канале синхротронного излучения на накопительном кольце BESSY (г. Берлин). Полное энергетическое разрешение использовавшегося сверхвысоковакуумного фотоэлектронного спектрометра, включая монохроматор и анализатор, составляло ~ 100 meV. Регистрировались фотоэлектроны, вылетающие в конусе, ориентированном вдоль нормали к поверхности образца. Измерения проводились при энергии фотонов $h\nu = 130$ eV, которая соответствует области наибольшей поверхностной чувствительности при возбуждении остовых уровней Si 2p. Образцы кремния изготавливались из монокристаллических кремниевых пластин КЭФ-1. Разориентация их поверхности относительно грани (111) не превышала 0.1°. Перед загрузкой в камеру спектрометра образцы подвергались химической обработке по методу Шираки. В сверхвысоком вакууме они кратковременно прогревались до температуры 1200°C и медленно остывали со скоростью ~ 50°C/min. Такая процедура обеспечивала получение реконструированной поверхности

$Si(111)7 \times 7$, свободной от углеродных и кислородных загрязнений. Элементарный состав поверхности исследуемых образцов контролировался методом фотоэлектронной спектроскопии.

Окисление поверхности монокристаллов кремния проводилось при температуре $500^{\circ}C$ экспозицией 20 Лэнгмюр (L) кислорода при давлении 10^{-5} Па. Напыление кобальта на поверхность подложки, находившейся при комнатной температуре, осуществлялось из тщательно обезгаженного источника, в котором нагрев испаряемого вещества (стержня из особо чистого кобальта) осуществлялся с помощью электронной бомбардировки. Скорость напыления кобальта составляла ~ 1 ML/min. При этом за один монослой (ML) атомов кобальта принималось покрытие, содержащее $7.8 \cdot 10^{14}$ at/cm², что соответствует концентрации атомов кремния на поверхности $Si(111)$. Все измерения фотоэлектронных спектров проводились при комнатной температуре в вакууме не хуже $1.2 \cdot 10^{-8}$ Па.

2. Результаты и их обсуждение

Типичные спектры $Si\ 2p$ с вычтеным фоном, измеренные для чистой и окисленной поверхности $Si(111)7 \times 7$, показаны на рис. 1. Здесь же приведены результаты их разложения на составляющие, которые были получены с помощью общепринятой процедуры, описанной, в частности, в [7]. Полагалось, что спектры состоят из объемной и ряда поверхностных мод, каждая из которых описывалась спин-орбитальным дублетом с энергетическим расщеплением $2p_{3/2}$ - и $2p_{1/2}$ -подуровней, равным 608 мeV. Отношение интенсивностей линий подуровней принималось равным двум. Все моды спектра описывались Voigt-функциями, представляющими собой свертки функций Лоренца, учитывающих время жизни дырки на основном уровне, и распределений Гаусса, описывающих фоновое уширение линий и энергетическое разрешение прибора. При разложении спектров на составляющие оптимизировались энергетические сдвиги мод, их ширины и интенсивности. Как видно из рис. 1, спектр чистой реконструированной поверхности $Si(111)7 \times 7$, в соответствии с данными [11], состоит из объемной моды B с энергией связи 98.65 eV и четырех поверхностных мод, которые соответствуют адатомам (S_1 , 99.2 eV), rest-атомам (S_2 , 97.95 eV), атомам пьедестала (S_3 , 98.9 eV) и атомам димеров (S_4 , 98.35 eV).

Взаимодействие кислорода с поверхностью $Si(111)7 \times 7$ существенно изменяет вид спектра. Уменьшается интенсивность дублета чистого кремния и углубляется провал между его подуровнями. Основные изменения связаны с появлением новых составляющих, характеризуемых положительными энергетическими сдвигами относительно объемной моды кремния. Диапазон, в котором они видны, охватывает интервал около 4 eV. Согласно литературным данным [12–15], эти моды обусловлены окисными фазами кремния

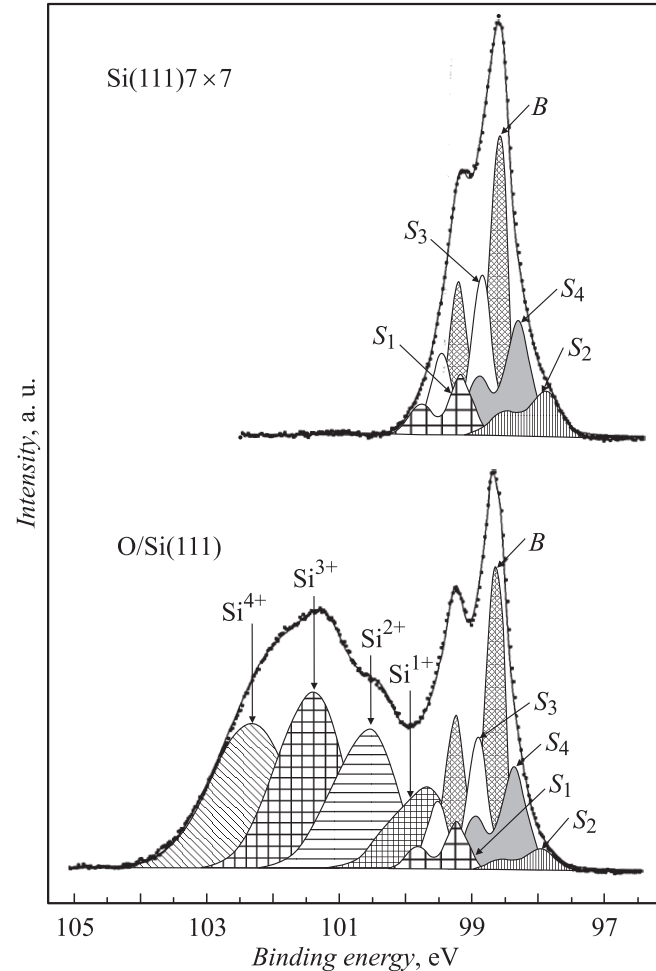


Рис. 1. Спектры $Si\ 2p$, измеренные при $h\nu = 130$ eV, для чистой и окисленной поверхности $Si(111)7 \times 7$, и результаты их разложения на составляющие.

с разной валентностью от +1 до +4, определяемой числом атомов кислорода, которые окружают атом кремния и с которыми он взаимодействует. Результаты разложения спектра $Si\ 2p$ окисленного кремния на составляющие, представленные на рис. 1, показывают присутствие всех четырех окисных мод (Si^+ , Si^{2+} , Si^{3+} и Si^{4+}), что свидетельствует о формировании окисного слоя SiO_x сложного состава. Значения энергетических сдвигов окисных мод, полученные из результатов анализа спектра $Si\ 2p$, достаточно хорошо согласуются с данными, приведенными в работах [12–15].

В спектре окисленного кремния помимо рассмотренных мод, соответствующих сформированному слою SiO_x , имеются также моды, обусловленные реконструкцией исходной поверхности кремния. Хотя интенсивность данных составляющих заметно уменьшается в процессе окисления, само наличие этих особенностей свидетельствует о гетерогенности поверхности образца и сохранении на ней пятен чистого кремния, обладающих реконструкцией поверхности типа 7×7 . Степень

затухания разных поверхностных мод кремния оказалась, однако, различной. Наиболее сильно уменьшилась интенсивность моды rest-атомов, которая снизилась более чем в три раза. Заметно ослабла также мода адатомов, а моды димеров и атомов пьедестала испытывали менее значительные изменения. Эти отличия объясняются тем, что при окислении кремния возникают новые интерфейсные моды, соответствующие атомам кремния, локализованным на межфазовой границе SiO_x –Si. Такие моды, ранее наблюдавшиеся при окислении поверхности Si(100) 2×1 [7, 15, 16], характеризуются относительными энергетическими сдвигами (относительно объемной моды кремния), лежащими в диапазонах — 0.32–5 и 0.25–0.42 eV. Моды S_2 и S_3 реконструированной поверхности Si(111) 7×7 попадают именно в эти интервалы, что и приводит к отмеченному выше завышению их интенсивности. Что же касается моды rest-атомов, то она не перекрывает ни с какими составляющими спектра, и поэтому анализ изменений ее интенсивности может быть использован для определения доли поверхности подложки, которая не покрыта пленкой SiO_x . Как показывает соответствующая оценка, эта доля составляет около 20% площади поверхности образца. Наконец, средняя толщина сформированного слоя SiO_x может быть определена по затуханию объемной моды чистого кремния, и ее величина в нашем случае составляет примерно 6 Å.

Таким образом, окисление поверхности Si(111) 7×7 при повышенной температуре кристалла (500°C) и давлении 10^{-5} Pa (экспозиция 20 L) приводит, в отличие от поверхности Si(100) 2×1 , где в аналогичных условиях образуется сплошная пленка окисла, к формированию гетерогенной поверхности. На ней образуется островковая пленка SiO_x сложного состава, занимающая около 80% поверхности подложки.

Экспериментальные данные, полученные при нанесении кобальта на окисленную поверхность кремния, иллюстрируются рис. 2. Приведенные спектры Si 2p нормированы на поток фотонов и поэтому непосредственно демонстрируют изменение интенсивности линий с увеличением дозы нанесенного металла. При этом, как и в случае системы Co– SiO_x –Si(100), окисные моды остаются практически неизменными. Заметное уменьшение их интенсивности наблюдается лишь в случае, когда доза напыления достигает 8 ML. Основные изменения спектров наблюдаются в области линии чистого кремния, и это свидетельствует о химическом взаимодействии атомов кобальта с кремнием. С увеличением дозы нанесенного металла, во-первых, происходит заметное изменение формы линии, и, во-вторых, уменьшается ее интенсивность по сравнению с линиями окисленного кремния. Такая динамика изменения спектров, и, в частности, отсутствие затухания линий SiO_x , объясняется тем, что падающие на окисленную часть поверхности образца атомы кобальта не адсорбируются на ней, а мигрируют к участкам чистой подложки, где и происходит их взаимодействие с кремнием.

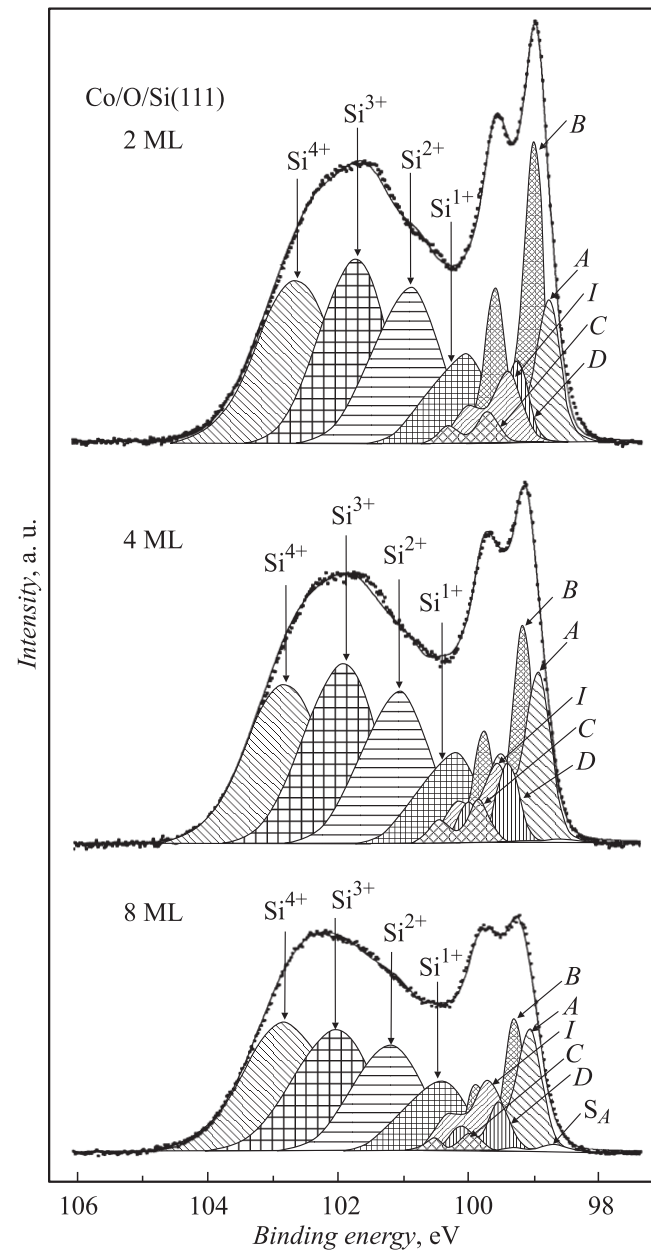


Рис. 2. Спектры Si 2p, измеренные при $h\nu = 130$ eV, для окисленной поверхности Si(111) 7×7 , на которую при комнатной температуре были нанесены возрастающие дозы кобальта, представлены результаты их разложения на составляющие.

Для более детального анализа протекающих процессов было проведено разложение спектров Si 2p на составляющие, результаты которого также представлены на рис. 2. Из сравнения данных рис. 1 и 2 хорошо видно, что нанесение 2 ML кобальта приводит к существенному изменению состава спектра, из которого исчезают все поверхностные моды реконструированной поверхности кремния. Что касается объемной моды B, то ее интенсивность заметно уменьшается, и это характерно также для последующих стадий нанесения металла. Кроме того, в спектре появляются четыре новые составляющие.

Три из них (C , I и D) имеют положительные энергетические сдвиги относительно моды B , равные соответственно 0.67, 0.4 и 0.24 eV. Четвертая составляющая (A) характеризуется отрицательным сдвигом — 0.24 eV.

Дальнейшее напыление кобальта не приводит к качественным изменениям спектров. В них появляется лишь слабая мода S_A с большим отрицательным энергетическим сдвигом (-0.63 eV). Мало изменяются и интенсивности мод. Лишь на последней стадии (8 ML Co) заметно ослабевают моды чистого и окисленного кремния, что, очевидно, обусловлено формированием металлической пленки кобальта на поверхности образца, в том числе и на поверхности окисного слоя.

Займемся теперь идентификацией обнаруженных мод. При этом будем опираться на результаты исследования системы $Co/Si(111)$, а также данные по энергиям связи электронов $Si\ 2p$ в силицидах кобальта. В работах [17,18] показано, что при нанесении атомов Co на поверхность $Si(111)7 \times 7$ сначала на ней формируется слой стабильного дисилицида кобальта, на котором в дальнейшем растет пленка твердого раствора $Co-Si$. Энергетические сдвиги электронов $Si\ 2p$ в $CoSi_2$ и $Co-Si$ имеют значения, лежащие в интервалах 0.2–0.3 eV и $-(0.24-0.36)$ eV [7,17–24]. Поскольку моды D и A попадают именно в эти диапазоны энергий, можно считать, что и в нашем случае на поверхности пятен чистого кремния формируются сначала стабильный дисилицид кобальта (мода D), а затем твердый раствор кобальта в кремнии (A). При этом высокую интенсивность компоненты A , почти достигающей своего насыщения после напыления 2 ML Co, можно объяснить тем, что в формировании твердого раствора $Co-Si$ участвуют также атомы кобальта, уходящие с поверхности окисного слоя. Если учесть, что пятна чистого кремния занимают около 20% площади поверхности образца, то фактическая степень покрытия в этих областях подложки может достигать 10 ML. При этом атомы кремния раствора $Co-Si$, локализованные на поверхности образца, находятся в особом состоянии, и им соответствуют поверхностная мода S_A с энергетическим сдвигом относительно моды A , равным — 0.37 eV.

Однако не все атомы Co, поступающие на поверхность кремния, участвуют в формировании рассмотренных фаз. В пользу такого вывода свидетельствует присутствие в спектре моды I , которая по всем основным параметрам (энергия связи, полуширина и интенсивность) совпадают с интерфейсной модой, обнаруженной нами ранее при исследовании системы $Co-SiO_x-Si(100)$. Поэтому полагаем, что и в данном случае атомы кобальта дифундируют под окисный слой, что приводит к образованию на межфазовой границе $SiO-Si(111)$ трехкомпонентной интерфейсной фазы $Co-Si-O$.

Что же касается моды C , имеющей наибольший энергетический сдвиг (0.67 eV) из всех мод, то такая энергия связи наблюдалась лишь для метастабильной фазы дисилицида кобальта со структурой типа $CsCl$ [23]. Поэтому только этой фазе и может соответствовать

данная мода. В системе $Co/Si(111)$ метастабильный дисилицид кобальта возникает в условиях совместного нанесения атомов Co и Si на поверхность кремния и не формируется при нанесении атомов Co на поверхность чистого кремния. Из этого можно сделать вывод, что данная фаза, как и рассмотренная выше фаза $Co-Si-O$, образуется под окисным слоем.

Наконец, заметим, что конденсация атомов кремния на поверхности окисного слоя, наблюдавшаяся после нанесения 8 ML Co, приводит также к заметной перестройке самого слоя SiO_x . Это видно, например, из того, что при 4 ML Co наиболее интенсивной особенностью в данной части спектра является мода Si^{+3} , а в последнем спектре (8 ML Co) доминирует мода Si^{+4} . Как известно, слой SiO_x неоднороден по глубине, и фазы Si^{+4} и Si^{+3} локализованы на его поверхности [25]. Поэтому именно они оказываются наиболее чувствительными к адсорбции атомов кобальта.

Заключение

Таким образом, в работе показано, что окисленная поверхность $Si(111)7 \times 7$ гетерогенна и содержит участки подложки, не покрытые окисным слоем. Вследствие этого система $Co-SiO_x-Si(111)$ является более сложной, чем система $Co-SiO_x-Si(100)$, где в аналогичных условиях образуется сплошная окисная пленка. На оголенных участках окисленной поверхности $Si(111)$ взаимодействие атомов кобальта с кремнием протекает так же, как и в двухкомпонентной системе $Co-Si(111)$. Сначала формируется сверхтонкий слой стабильного дисилицида кобальта со структурой CaF_2 , на котором растет пленка твердого раствора кремния в кобальте, а далее — пленка чистого кобальта. В то же время на поверхности самого окисного слоя атомы кобальта, так же как и в случае системы $Co-SiO_x-Si(100)$ не адсорбируются, а мигрируют по нему, достигая участков чистой подложки. Отсюда уже атомы Co проникают под окисный слой. Результатом этого процесса является формирование под слоем трехкомпонентной интерфейсной фазы $Co-Si-O$ и метастабильного дисилицида кобальта с $CsCl$ -структурой.

Работа выполнена при поддержке Российского фонда фундаментальных исследований (проект № 07-02-01009) и двусторонней программы „Российско-германская лаборатория на BESSY“.

Список литературы

- [1] Tung T.R. // Appl. Phys. Lett. 1996. Vol. 68. N 24. P. 3461–3463.
- [2] Tung T.R. // Jpn. J. Appl. Phys. 1997. Vol. 36. P. I. 3B. P. 1650–1653.
- [3] Hayashi Y., Yoshinaga M., Ikeda H. et al. // Surf. Sci. 1999. Vol. 438. P. 116–122.

- [4] *Takahashi F., Irie T., Shi J.* et al. // *Appl. Surf. Sci.* 2001. Vol. 169–170. P. 315–319.
- [5] *Гомоюнова М.В., Пронин И.И., Гааль Н.Р.* // Письма в ЖТФ. 2004. Т. 30. Вып. 20. С. 17–24.
- [6] *Гомоюнова М.В., Пронин И.И., Малыгин Д.Е. и др.* // ФТТ. 2006. Т. 47. С. 1901–1906.
- [7] *Gomoyunova M.V., Pronin I.I., Malygin D.E.* et al. // *Surf. Sci.* 2006. Vol. 600. P. 2449–2456.
- [8] *Westphal C., Dreiner S., Schurmann M.* et al. // *Surf. Rev. Lett.* 2002. Vol. 9. N 2. P. 735–740.
- [9] *Egelhoff W.F., jr.* // *Surf. Science Reports.* 1987. Vol. 6. P. 253–415.
- [10] *Гомоюнова М.В., Пронин И.И.* // ЖТФ. 2004. Т. 74. вып. 10. С. 1–34.
- [11] *Uhrberg R.I.G., Kaurila T., Chao Y.-C.* // *Phys. Rev. B.* 1998. Vol. 58. N 4. P. R1730–1733.
- [12] *Himpel F.J., McFeely F.R., Taleb-Ibrahimi A.* et al. // *Phys. Rev. B.* 1988. Vol. 5. N 9. P. 6084–6096.
- [13] *Sieger M.T., Luh D.A., Miller T.* et al. // *Phys. Rev. Lett.* 1996. Vol. 77. N 13. P. 2758–2761.
- [14] *Nishimura T., Hoshino Y., Namba H.* et al. // *Surf. Sci.* 2000. Vol. 461. N 1–3. P. 146–154.
- [15] *Yeom H.W., Uhrberg R.* // *Jpn. J. Appl. Phys.* 2000. Vol. 39. N 7. P. 4460–4463.
- [16] *Hoshimo H., Nishimura T., Nakada T.* et al. // *Surf. Sci.* 2000. Vol. 488. P. 249–255.
- [17] *Boscherini F., Joyce J.J., Ruckman M.W.* et al. // *Phys. Rev. B.* 1987. Vol. 35. N 9. P. 4216–4220.
- [18] *Flammini R., Wiame F., Belkhou R.* et al. // *Appl. Surf. Sci.* 2001. Vol. 233. P. 411–418.
- [19] *Gallego J.M., Miranda R., Molodtsev S.* et al. // *Surf. Sci.* 1990. Vol. 239. N 3. P. 203–212.
- [20] *Rangelov G., Augustin P., Stober J.* et al. // *Phys. Rev. B.* 1994. Vol. 49. N 11. P. 7535–7542.
- [21] *Rangelov G., Fauster Th.* // *Surf. Sci.* 1996. Vol. 365. N 2. P. 403–410.
- [22] *Rangelov G., Augustin P., Stober J.* et al. // *Surf. Sci.* 1994. Vol. 307–309. P. 264–268.
- [23] *Pirri C., Hong S., Tuilier M.H., Wenzel P., Gewinner G.* // *Phys. Rev. B.* 1996. Vol. 53. N 3. P. 1368–1376.
- [24] *Gomoyunova M.V., Pronin I.I., Gall N.R.* // *Surf. Sci.* 2005. Vol. 578. P. 176–182.
- [25] *Luh D.A., Miller T.-C.* // *Phys. Rev. Lett.* 1997. Vol. 79. N 16. P. 3014–3017.